



UNIVERSITÀ DI PISA

Corso di Laurea Magistrale INGEGNERIA ROBOTICA E DELL'AUTOMAZIONE

Corso di Robotica
Modulo di Controllo dei Robot

Tavole Applicative

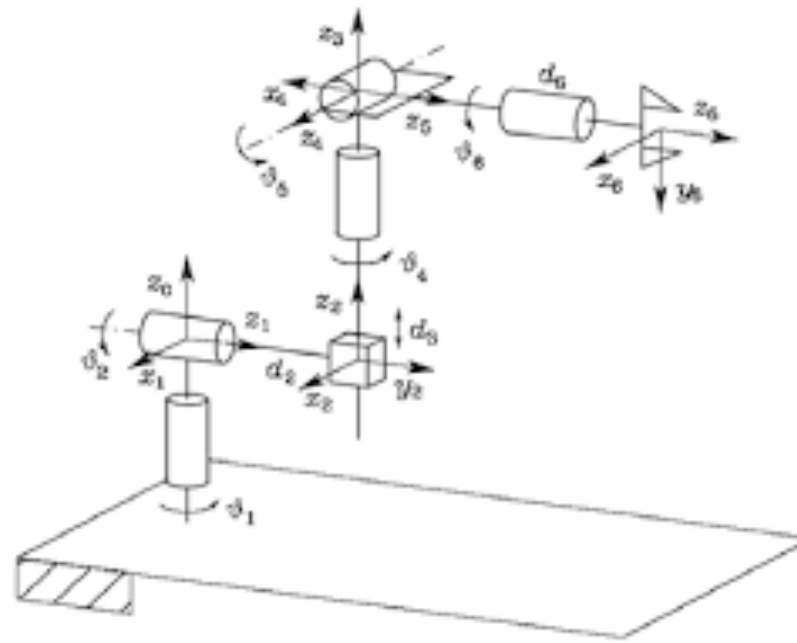
Docente:
Prof. Antonio BICCHI
Prof. Giorgio GRIOLI

Studente:
Arianna GASPARRI

Indice:

- Manipolatore di Stanford
 - Controllore PD con compensazione di Gravità
 - Controllore Computed Torque
 - Controllore Adaptive Computed Torque
 - Confronti tra controllori

Manipolatore di Stanford



Parametri del
manipolatore:

$$m_1 = m_3 = 10 \text{ kg}$$

$$m_2 = 5 \text{ kg}$$

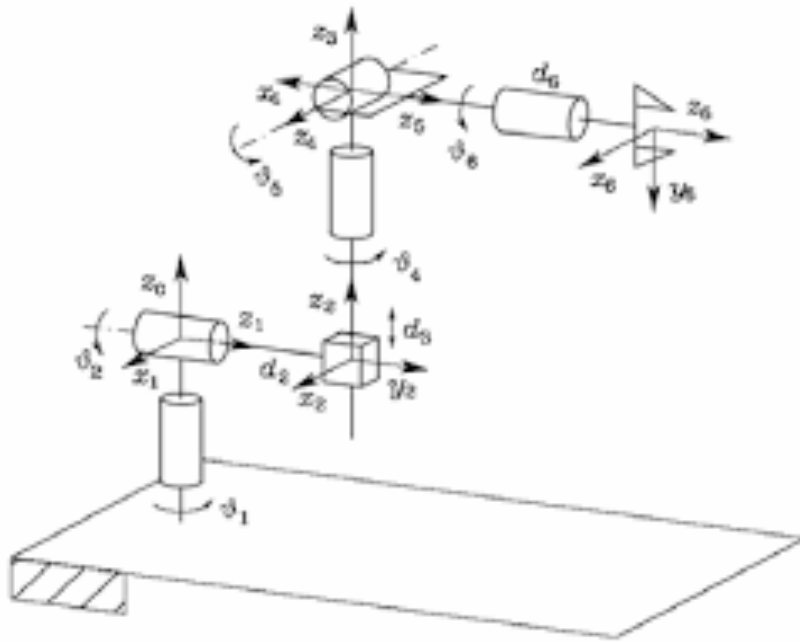
$$m_4 = m_6 = 2 \text{ kg}$$

$$m_5 = 4 \text{ kg}$$

$$d_1 = d_2 = d_6 = 1 \text{ m}$$

$$d_3 = d_4 = d_5 = 0 \text{ m}$$

Manipolatore di Stanford



Il manipolatore di Stanford può essere scomposto in un manipolatore sferico, giunti 1, 2, 3, e un polso sferico, giunti 4, 5 e 6.

Inoltre i giunti si considerano ideali, privi di elasticità.

Link	a_i	α_i	d_i	ϑ_i
1	0	$-\pi/2$	0	ϑ_1^*
2	0	$\pi/2$	d_2	ϑ_2^*
3	0	0	d_3^*	0
4	0	$-\pi/2$	0	ϑ_4^*
5	0	$\pi/2$	0	ϑ_5^*
6	0	0	d_6	ϑ_6^*

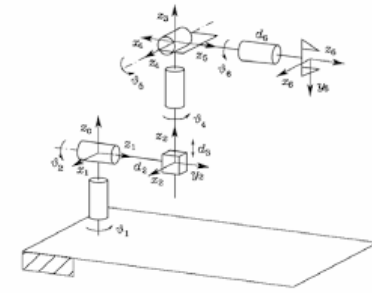
Tabella dei parametri secondo convenzione D-H

Manipolatore di Stanford

CINEMATICA DIRETTA

A partire dalla tabella di D-H è possibile associare a ciascun giunto una terna destrorsa di riferimento e ricavare le matrici di trasformazione tra la terna i e la terna $i+1$.

Componendo le trasformazioni in assi correnti a partire dalla terna base fino alla terna dell'end-effector, si ottiene una mappa della cinematica diretta che rappresenta la postura dell'organo terminale rispetto alla base.



$$T_6^0 = T_3^0 T_6^3 = \begin{bmatrix} n^0 & s^0 & a^0 & p^0 \\ 0 & 0 & 0 & 1 \end{bmatrix}$$

$$p^0 = \begin{bmatrix} c_1 s_2 d_3 - s_1 d_2 + (c_1(c_2 c_4 s_5 + s_2 c_5) - s_1 s_4 s_5) d_6 \\ s_1 s_2 d_3 + c_1 d_2 + (s_1(c_2 c_4 s_5 + s_2 c_5) + c_1 s_4 s_5) d_6 \\ c_2 d_3 + (-s_2 c_4 s_5 + c_2 c_5) d_6 \end{bmatrix}$$

$$n^0 = \begin{bmatrix} c_1(c_2(c_4 c_5 c_6 - s_4 s_6) - s_2 s_5 c_6) - s_1(s_4 c_5 c_6 + c_4 s_6) \\ s_1(c_2(c_4 c_5 c_6 - s_4 s_6) - s_2 s_5 c_6) + c_1(s_4 c_5 c_6 + c_4 s_6) \\ -s_2(c_4 c_5 c_6 - s_4 s_6) - c_2 s_5 c_6 \end{bmatrix}$$

$$s^0 = \begin{bmatrix} c_1(-c_2(c_4 c_5 s_6 + s_4 c_6) + s_2 s_5 s_6) - s_1(-s_4 c_5 s_6 + c_4 c_6) \\ s_1(-c_2(c_4 c_5 s_6 + s_4 c_6) + s_2 s_5 s_6) + c_1(-s_4 c_5 s_6 + c_4 c_6) \\ s_2(c_4 c_5 s_6 + s_4 c_6) + c_2 s_5 s_6 \end{bmatrix}$$

$$a^0 = \begin{bmatrix} c_1(c_2 c_4 s_5 + s_2 c_5) - s_1 s_4 s_5 \\ s_1(c_2 c_4 s_5 + s_2 c_5) + c_1 s_4 s_5 \\ -s_2 c_4 s_5 + c_2 c_5 \end{bmatrix}$$

Manipolatore di Stanford

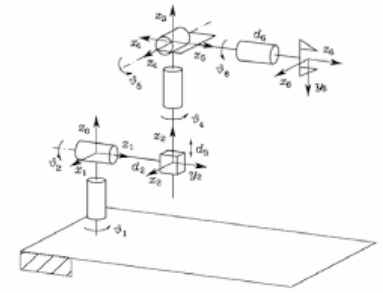
DINAMICA DIRETTA:

Il problema della dinamica diretta consiste nel determinare, per $t > t_0$, le accelerazioni dei giunti $\ddot{q}(t)$ (e quindi $\dot{q}(t)$ e $q(t)$) risultanti dalle date coppie di giunti $\tau(t)$, una volta che le posizioni iniziali $q(t_0)$ e le velocità iniziali $\dot{q}(t_0)$ sono note (stato iniziale del sistema).

DINAMICA INVERSA:

Il problema della dinamica inversa consiste nel determinare le coppie articolari $\tau(t)$ che sono necessari per generare il movimento specificato dall'accelerazioni $\ddot{q}(t)$, velocità $\dot{q}(t)$ e posizioni $q(t)$.

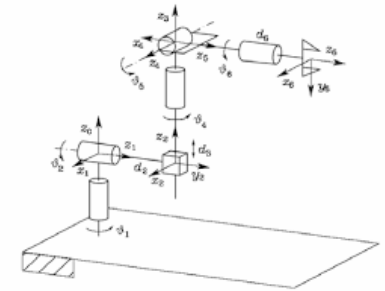
$$\underline{B}(\underline{q})\ddot{\underline{q}} + \underline{C}(\underline{q}, \dot{\underline{q}})\dot{\underline{q}} + \underline{G}(\underline{q}) = \underline{\tau}$$



Manipolatore di Stanford

MATRICE DI INERZIA

$$B = (m(1)*(JpG1')*JpG1 + (JgG1')*rG1*I_f(m(1),d(1))*(rG1')*JgG1+... \\ m(2)*(JpG2')*JpG2 + (JgG2')*rG2*I_f(m(2),d(2))*(rG2')*JgG2+... \\ m(3)*(JpG3')*JpG3 + (JgG3')*rG3*I_f(m(3),q(3))*(rG3')*JgG3+... \\ m(4)*(JpG4')*JpG4 + (JgG4')*rG4*I_f(m(4),d(4))*(rG4')*JgG4+... \\ m(5)*(JpG5')*JpG5 + (JgG5')*rG5*I_f(m(5),d(5))*(rG5')*JgG5+... \\ m(6)*(JpG6')*JpG6 + (JgG6')*rG6*I_f(m(6),d(6))*(rG6')*JgG6);$$



MATRICE DELLE FORZE CENTRIFUGHE E DI CORIOLIS

Calcolata mediante i simboli di Christoffel

$$c_{ij} = \sum_{k=1}^n c_{ijk} \dot{q}_k$$

$$c_{ijk} = \frac{1}{2} \left(\frac{\partial b_{ij}}{\partial q_k} + \frac{\partial b_{ik}}{\partial q_j} - \frac{\partial b_{jk}}{\partial q_i} \right)$$

MATRICE GRAVITAZIONALE

$$G = -(m(1)*(JpG1')*g0 + m(2)*(JpG2')*g0 + m(3)*(JpG3')*g0 +... \\ m(4)*(JpG4')*g0 + m(5)*(JpG5')*g0 + m(6)*(JpG6')*g0);$$

Manipolatore di Stanford

Controllore PD con compensazione di Gravità

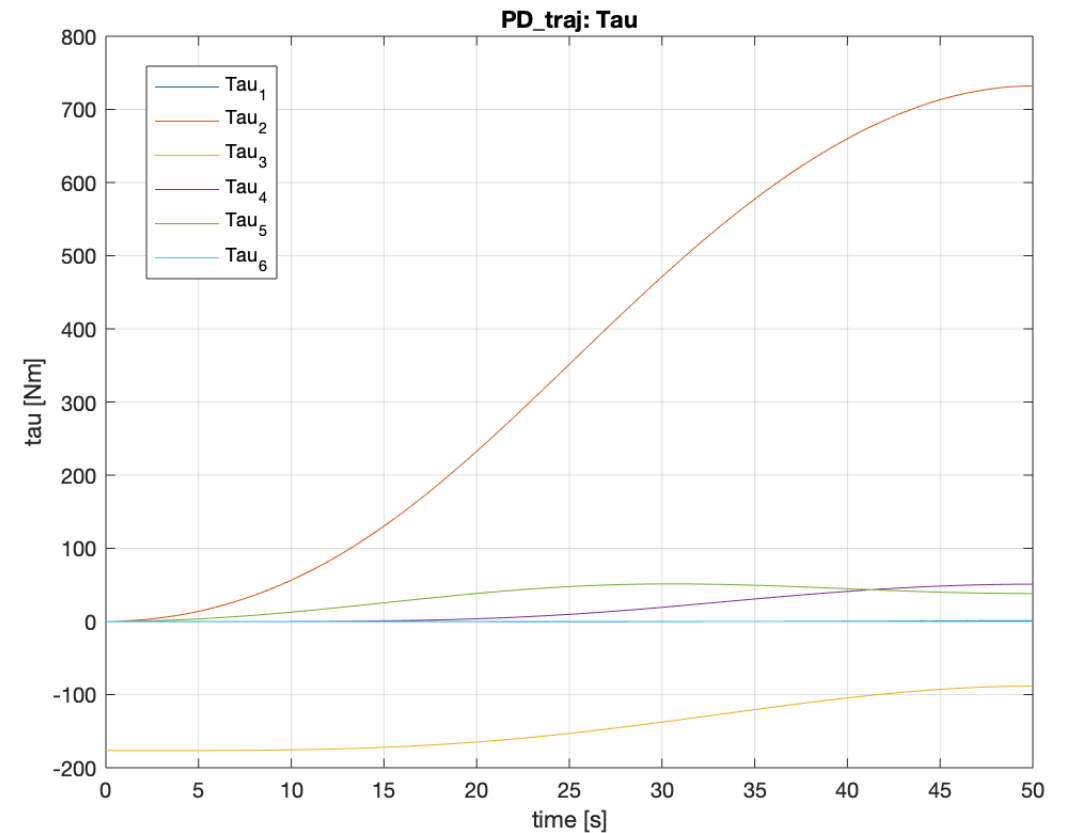
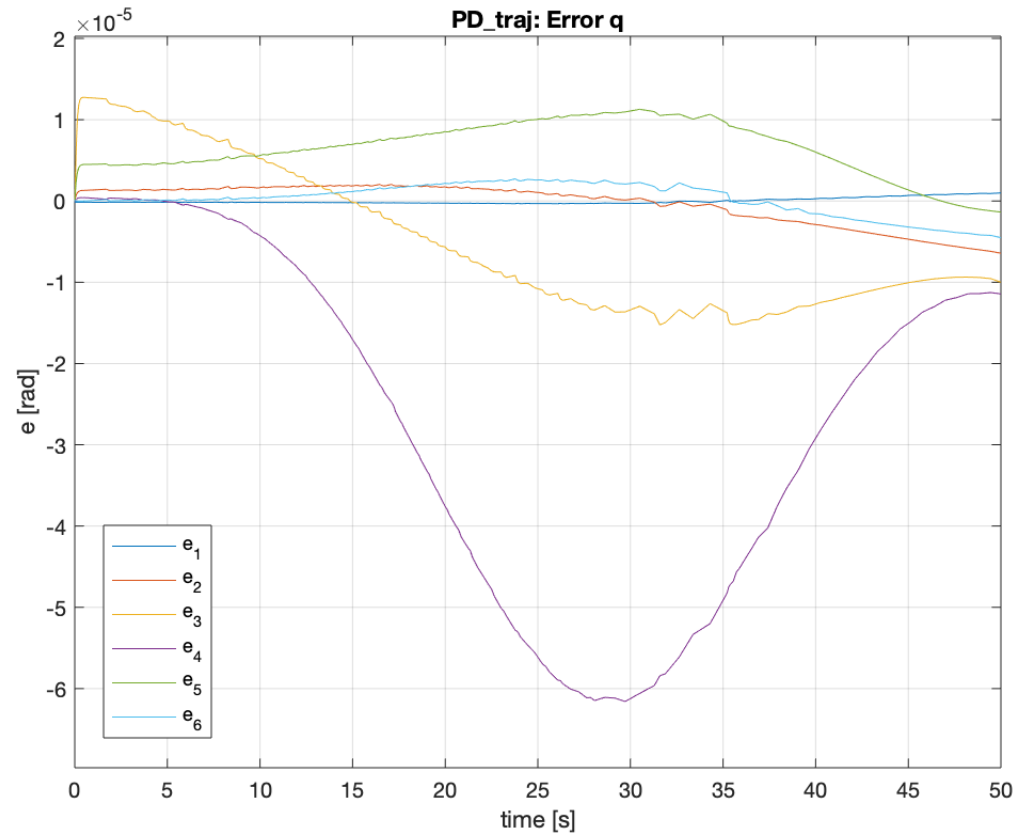
$$\tau = K_p e + K_d \dot{e} + G(q)$$

$$K_p = \begin{bmatrix} 1000000 & 0 & 0 & 0 & 0 & 0 \\ 0 & 100000 & 0 & 0 & 0 & 0 \\ 0 & 0 & 10000 & 0 & 0 & 0 \\ 0 & 0 & 0 & 1000 & 0 & 0 \\ 0 & 0 & 0 & 0 & 10000 & 0 \\ 0 & 0 & 0 & 0 & 0 & 100 \end{bmatrix}$$

$$K_d = \begin{bmatrix} 10000 & 0 & 0 & 0 & 0 & 0 \\ 0 & 10000 & 0 & 0 & 0 & 0 \\ 0 & 0 & 1000 & 0 & 0 & 0 \\ 0 & 0 & 0 & 100 & 0 & 0 \\ 0 & 0 & 0 & 0 & 1000 & 0 \\ 0 & 0 & 0 & 0 & 0 & 10 \end{bmatrix}$$

Manipolatore di Stanford

Controllore PD con compensazione di Gravità



Manipolatore di Stanford

Controllore Computed Torque

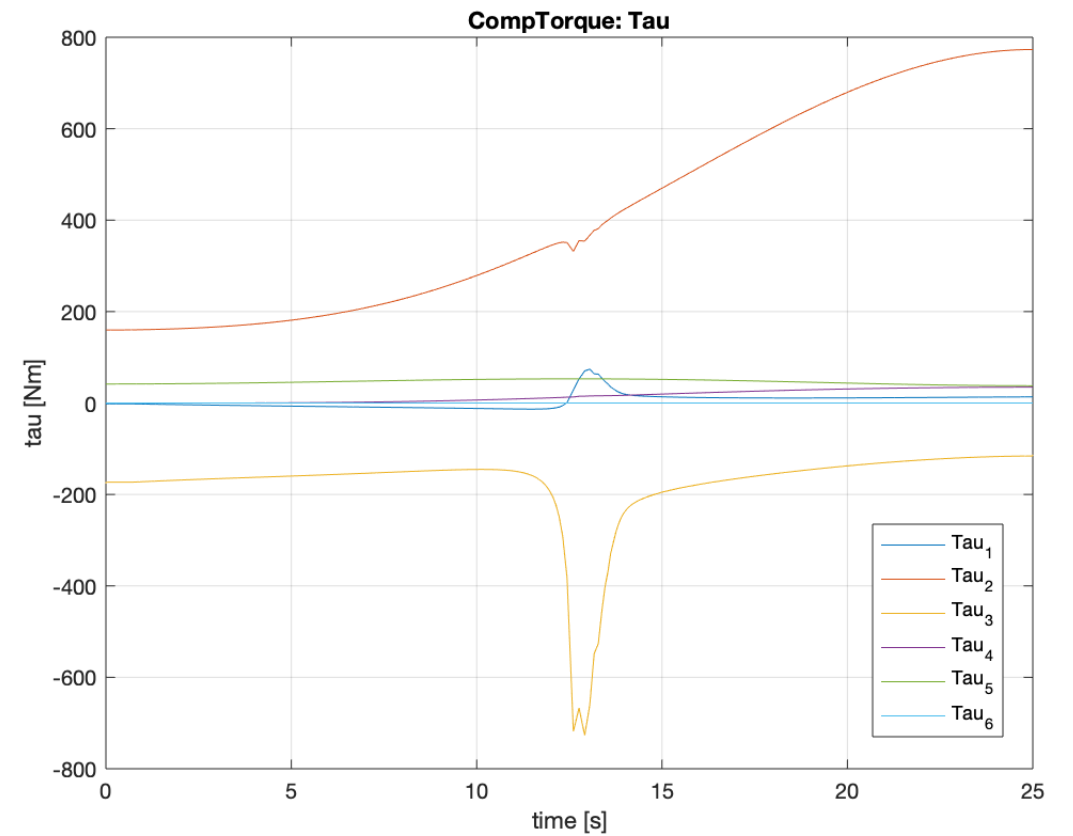
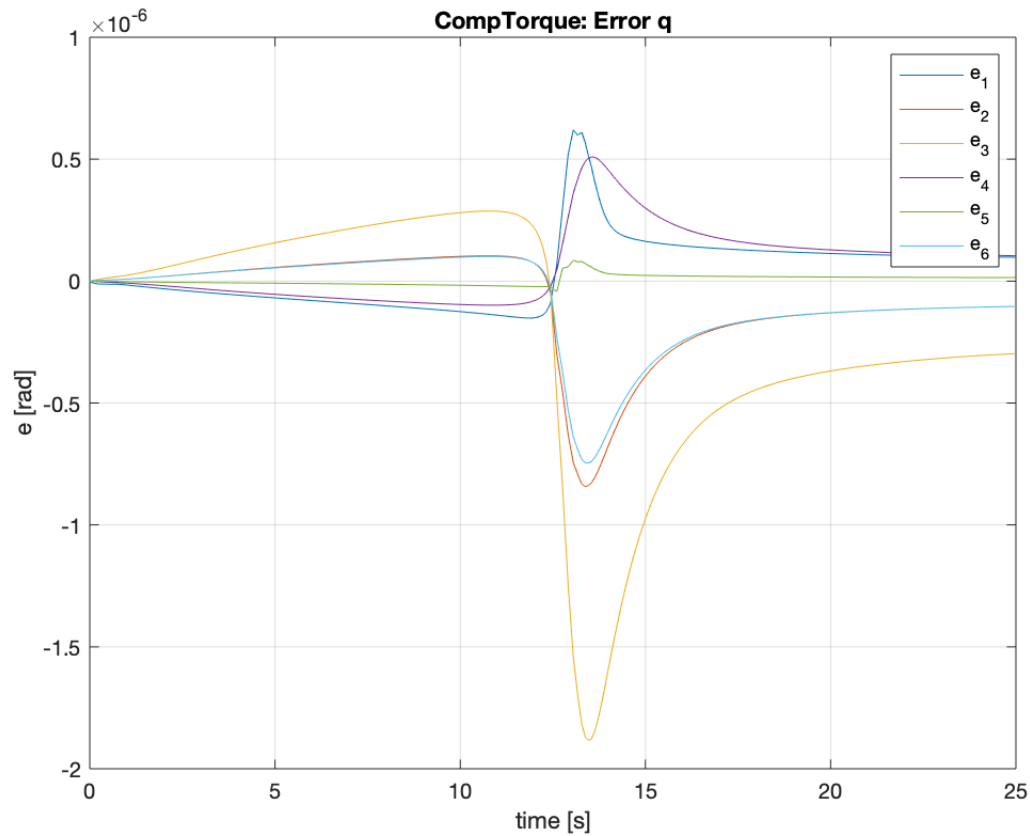
$$\tau = B(q)\ddot{q}_d + C(q, \dot{q})\dot{q} + G(q) + K_p e + K_d \dot{e}$$

$$K_p = \begin{bmatrix} 100000000 & 0 & 0 & 0 & 0 & 0 \\ 0 & 10000000 & 0 & 0 & 0 & 0 \\ 0 & 0 & 100000000 & 0 & 0 & 0 \\ 0 & 0 & 0 & 1000000 & 0 & 0 \\ 0 & 0 & 0 & 0 & 1000000 & 0 \\ 0 & 0 & 0 & 0 & 0 & 100000 \end{bmatrix}$$

$$K_d = \begin{bmatrix} 10000000 & 0 & 0 & 0 & 0 & 0 \\ 0 & 10000000 & 0 & 0 & 0 & 0 \\ 0 & 0 & 100000000 & 0 & 0 & 0 \\ 0 & 0 & 0 & 1000000 & 0 & 0 \\ 0 & 0 & 0 & 0 & 10000 & 0 \\ 0 & 0 & 0 & 0 & 0 & 10000 \end{bmatrix}$$

Manipolatore di Stanford

Controllore Computed Torque



Manipolatore di Stanford

Controllore Adaptive Computed Torque

$$\tau = Y\hat{\pi} + K_d\dot{e} + K_p e$$

$$u_{\pi} = R^{-1}Y^T M^{-T} B^T P x$$

$$K_p = \begin{bmatrix} 1000000 & 0 & 0 & 0 & 0 & 0 \\ 0 & 100000000 & 0 & 0 & 0 & 0 \\ 0 & 0 & 100000000 & 0 & 0 & 0 \\ 0 & 0 & 0 & 10000000 & 0 & 0 \\ 0 & 0 & 0 & 0 & 100000000 & 0 \\ 0 & 0 & 0 & 0 & 0 & 10000 \end{bmatrix},$$

$$A = \begin{bmatrix} 0_6 & I_6 \\ -K_p & -K_d \end{bmatrix} \quad B = \begin{bmatrix} 0_6 \\ I_6 \end{bmatrix}$$

$$K_d = \begin{bmatrix} 10000 & 0 & 0 & 0 & 0 & 0 \\ 0 & 100000 & 0 & 0 & 0 & 0 \\ 0 & 0 & 1000000 & 0 & 0 & 0 \\ 0 & 0 & 0 & 10000 & 0 & 0 \\ 0 & 0 & 0 & 0 & 1000000 & 0 \\ 0 & 0 & 0 & 0 & 0 & 100 \end{bmatrix}$$

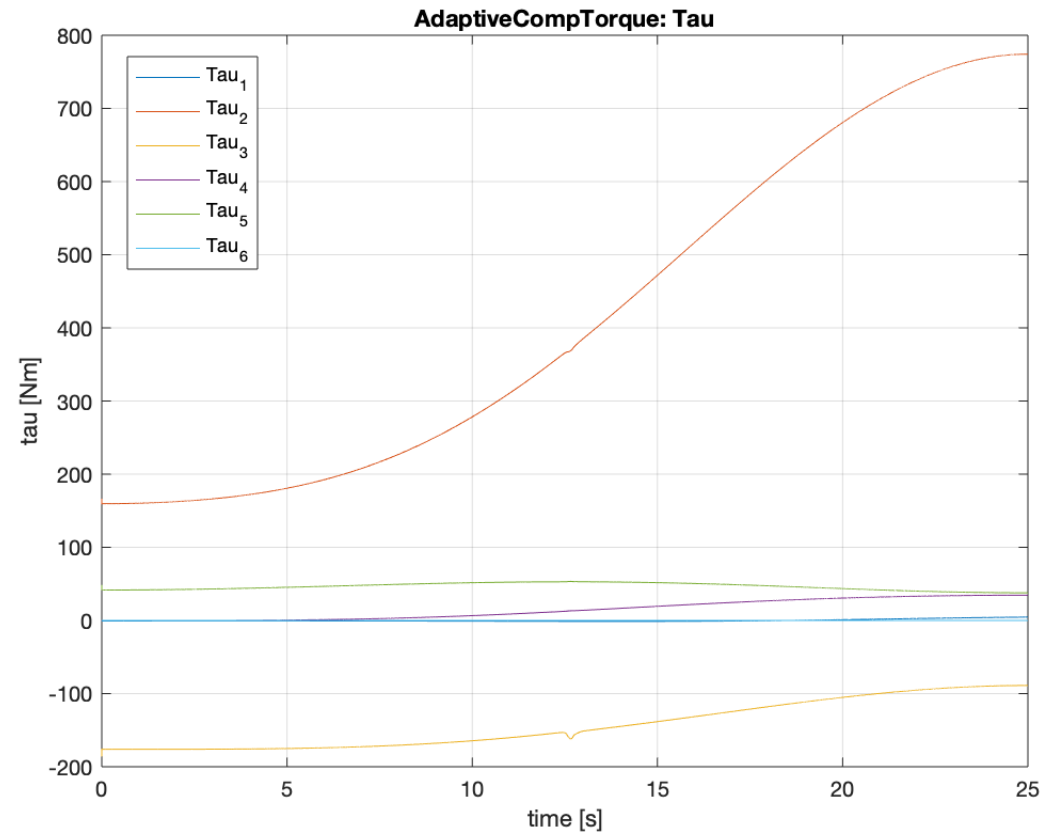
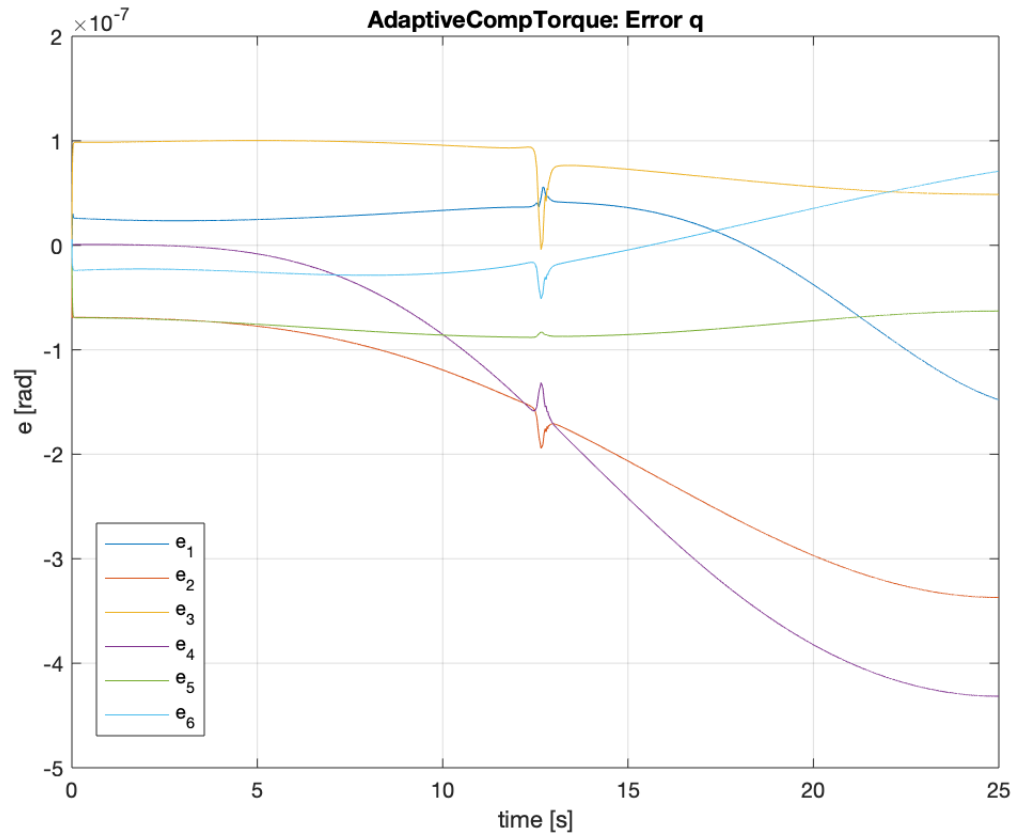
$$R = 10000 * I_2$$

$$Q = 1000 * I_{12}$$

$$A^T P + P A = -Q$$

Manipolatore di Stanford

Controllore Adaptive Computed Torque



Manipolatore di Stanford

Controllore Adaptive Computed Torque

Il regressore dinamico è stato calcolato estrapolando il parametro m_6 dalle equazioni della dinamica, utilizzando come vettore dei parametri

$$\pi = \begin{bmatrix} m_6 \\ 1 \end{bmatrix}$$

Inizializzando il vettore di parametri dinamici stimati come $\hat{\pi} = \begin{bmatrix} 3 \\ 1 \end{bmatrix}$ il risultato atteso era che il segnale giallo riportato nella figura accanto assumesse valore finale pari a m_6 per effetto della componente adattiva del controllore stesso. Nonostante il tuning delle matrici utilizzate per l'adattamento questo comportamento atteso non si è verificato.

